

Métodos Computacionais para inferência estatística

Wagner Hugo Bonat

LEG: Laboratório de Estatística e Geoinformação
Universidade Federal do Paraná

30 de julho de 2012

Motivação

- Modelos estocásticos têm sido amplamente utilizados tanto na comunidade científica como no mundo dos negócios em geral.
- Estudos de mercado, predição em séries financeiras, análises de componentes de solo, mapeamento de doenças, entre outros.

Motivação

- Nesta diversidade de aplicações é fácil encontrar situações de relevância prática onde os modelos tradicionais (GLM) não são adequados.
- Em geral por pelo menos uma das seguintes características:
 - 1 efeito não linear de covariáveis,
 - 2 observações correlacionadas no espaço,
 - 3 observações correlacionadas no tempo,
 - 4 heterogeneidade entre unidades não explicada por covariáveis.

Modelos estruturados aditivamente

- Nestas situações a classe dos modelos de regressão estruturados aditivamente têm sido amplamente utilizada.

$$h(E(Y_i|\mu_i)) = \eta_i = \alpha + \sum_{j=1}^{n_f} f^{(j)}(u_{ji}) + \sum_{k=1}^{n_\beta} \beta_k z_{ki} + \epsilon_i \quad (1)$$

Modelos gaussianos latentes são um subconjunto de todos os modelos Bayesianos estruturados aditivamente, onde se supõe uma priori gaussiana para $\alpha, f^{(j)}(\cdot), \beta_k$ e ϵ_i .

Inferência Bayesiana

- Inferência baseada em simulação, MCMC *Markov Chain Monte Carlo*.
- Desempenho insatisfatório quando aplicado para modelos Gaussianos latentes, basicamente pela alta dependência entre os parâmetros.
- Apesar dos avanços com MCMC ele permanece lento e complicado do ponto de vista do usuário final.

Inferência Bayesiana - Outras abordagens

- *Variational Bayes* (BISHOP, 2006).
- *Expectation-Propagation* (MINKA, 2001).
- A ferramenta mais promissora parece ser *Integrated Nested Laplace approximation-INLA* (RUE et al, 2009).

Modelos Gaussianos Latentes

- Dados observados \underline{y} , $y_i|x_i \sim \pi(y_i|x_i, \theta)$
- Campo latente Gaussiano $\underline{x} \sim N(., Q^{-1}(\underline{\theta}))$
- Hiperparâmetro $\underline{\theta}$
 - 1 variabilidade
 - 2 tamanho/força da dependência
 - 3 parâmetros na verossimilhança

Inferência bayesiana em MGL

- A posteriori pode ser escrita como

$$\begin{aligned}\pi(\underline{x}, \underline{\theta} | \underline{y}) &\propto \pi(\underline{\theta}) \pi(\underline{x} | \underline{\theta}) \prod_i \pi(y_i | x_i, \underline{\theta}) \\ &\propto \pi(\underline{\theta}) |Q(\underline{\theta})|^{\frac{n}{2}} \exp\left(-\frac{1}{2} \underline{x}^T Q(\underline{\theta}) \underline{x} + \sum_i \log \pi(y_i | x_i, \underline{\theta})\right)\end{aligned}$$

- As marginais posteriori de interesse podem ser escritas como

$$\pi(x_i | \underline{y}) = \int \pi(x_i | \underline{\theta}, \underline{y}) \pi(\underline{\theta} | \underline{y}) d\underline{\theta}$$

$$\pi(\theta_j | \underline{y}) = \int \pi(\underline{\theta} | \underline{y}) d\underline{\theta}_{-j}$$

Inferência bayesiana aproximada para MLG

- O fato chave da abordagem INLA é construir aproximações aninhadas para cada um dos componentes

$$\tilde{\pi}(x_i | \underline{y}) = \int \tilde{\pi}(x_i | \underline{\theta}, \underline{y}) \tilde{\pi}(\underline{\theta} | \underline{y}) d\underline{\theta}$$

e

$$\tilde{\pi}(\theta_j | \underline{y}) = \int \tilde{\pi}(\underline{\theta} | \underline{y}) d\underline{\theta}_{-j}$$

INLA - Integrated Nested Laplace approximation

- O primeiro passo é usar a seguinte identidade

$$\pi(\underline{\theta}|\underline{y}) = \frac{\pi(\underline{y}|\underline{x}, \underline{\theta})\pi(\underline{x}|\underline{\theta})\pi(\underline{\theta})}{\pi(\underline{y})\pi(\underline{x}|\underline{\theta}, \underline{y})} \propto \frac{\pi(\underline{y}|\underline{x}, \underline{\theta})\pi(\underline{x}|\underline{\theta})\pi(\underline{\theta})}{\pi(\underline{x}|\underline{\theta}, \underline{y})} \quad (2)$$

- Importante é notar que

$$\pi(\underline{x}|\underline{\theta}, \underline{y}) \propto \exp\left(-\frac{1}{2}\underline{x}^T Q \underline{x} + \sum_i \log \pi(y_i | x_i, \underline{\theta})\right)$$

INLA - Integrated Nested Laplace approximation

- O núcleo do INLA é aproximar $\pi(\underline{x}|\underline{\theta},\underline{y})$ por $\pi_G(\underline{x}|\underline{\theta},\underline{y})$
- A aproximação usa a moda e a curvatura na moda de $\pi(\underline{x}|\underline{\theta},\underline{y})$.
- Válida em um ponto (moda), substituindo na equação (2) tem-se

$$\tilde{\pi}(\underline{\theta}|\underline{y}) \propto \frac{\pi(\underline{y}|\underline{x},\underline{\theta})\pi(\underline{x}|\underline{\theta})\pi(\underline{\theta})}{\tilde{\pi}_G(\underline{x}|\underline{\theta},\underline{y})} \Bigg|_{\underline{x}=\underline{x}^*(\underline{\theta})}$$

INLA - Integrated Nested Laplace approximation

- Esta aproximação resolve três problemas no processo de inferência:
 - 1 Integrar fora a incerteza com respeito a $\underline{\theta}$, quando aproximando $\tilde{\pi}(x_i|\underline{y})$.
 - 2 Calcular uma aproximação para a verossimilhança marginal.
 - 3 Marginais posteriori para os hiperparâmetros $\tilde{\pi}(\theta_m|\underline{y})$.
- Integração numérica sobre um domínio multidimensional.

INLA - Estratégia geral

- 1 **Selecione um conjunto de $\Theta = (\underline{\theta}_1, \dots, \underline{\theta}_k)$**
- 2 **Para $k = 1$ até K faça**
- 3 **Calcule $\tilde{\pi}(\underline{\theta}_k | \underline{y})$**
- 4 **Calcule $\tilde{\pi}(x_i | \underline{\theta}_k, \underline{y})$ como uma função de x_i**
- 5 **Fim para**
- 6 **Calcule $\tilde{\pi}(x_i | \underline{y}) = \sum_k \tilde{\pi}(x_i | \underline{\theta}_k, \underline{y}) \tilde{\pi}(\underline{\theta}_k | \underline{y}) \Delta_k$**

INLA - Estratégia geral

- Para este algoritmo funcionar precisamos saber como obter duas quantidades
 - 1 Como seleccionar um conjunto (possivelmente pequeno) de pontos $\Theta = (\underline{\theta}_1, \dots, \underline{\theta}_k)$.
 - 2 Como construir uma boa aproximação para $\pi(x_i | \underline{\theta}_k, \underline{y})$

Explorando $\tilde{\pi}(\underline{\theta}|\underline{y})$

- 1 Encontre seu ponto de máximo de $\underline{\theta}^*$.
- 2 Na moda calcule a Hessiana $H > 0$. Seja $\Sigma = H^{-1}$. Para facilitar a exploração use variáveis padronizadas z ao invés de $\underline{\theta}$. Seja $\Sigma = V\delta V^T$ a decomposição em autovalores e autovetores de Σ e defina $\underline{\theta}$ através de z com

$$\underline{\theta}(z) = \underline{\theta}^* + V\delta^{1/2}z$$

- 3 Explore a $\log \tilde{\pi}(\underline{\theta}|\underline{y})$ usando a z -reparametrização

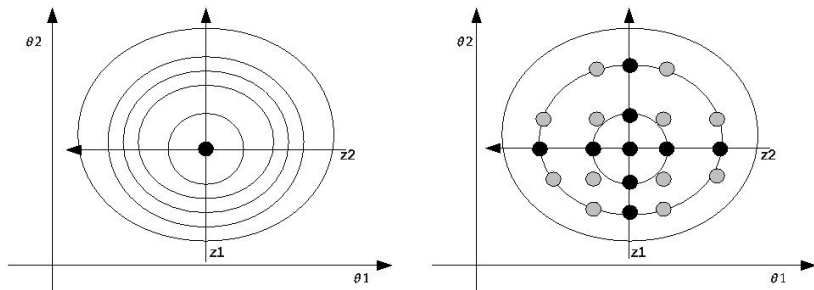
Explorando $\tilde{\pi}(\underline{\theta}|\underline{y})$ 

Figura 1: Ilustração da exploração da marginal posteriori para θ .

Aproximando $\pi(x_i|\underline{\theta}, \underline{y})$

- Rue et. al (2009) fazem três propostas
 - 1 Aproximação gaussiana $\tilde{\pi}_G(x_i|\underline{\theta}, \underline{y})$ já explicada
 - 2 Aproximação de Laplace
 - 3 Aproximação de Laplace Simplificada

Aproximando $\pi(x_i|\underline{\theta}, \underline{y})$

$$\tilde{\pi}_{LA}(x_i|\underline{\theta}, \underline{y}) \propto \frac{\pi(\underline{y}|\underline{\theta}, \underline{x})\pi(\underline{x}|\underline{\theta})\pi(\underline{\theta})}{\tilde{\pi}_{GG}(\underline{x}_{-i}|x_i, \underline{\theta}, \underline{y})} \Bigg|_{\underline{x}_{-i}=\underline{x}_{-i}^*(x_i, \underline{\theta})} \quad (3)$$

- Muito cara computacionalmente
- Duas mudanças são propostas em Rue et. al (2009)

1

$$\underline{x}_{-i}^* \approx E_{\tilde{\pi}_G}(\underline{x}_{-i}|x_i) \quad (4)$$

- 2 Somente alguns x_j próximos a x_i devem impactar na marginal de x_i .

Aproximando $\pi(x_i|\underline{\theta}, \underline{y})$

- A esperança condicional na equação (4) implica que

$$\frac{E_{\tilde{\pi}_G}(x_j|x_i) - \mu_j(\underline{\theta})}{\sigma_j(\underline{\theta})} = a_{ij}(\underline{\theta}) \frac{x_i - \mu_i(\underline{\theta})}{\sigma_i(\underline{\theta})} \quad (5)$$

para algum $a_{ij}(\underline{\theta})$ quando $j \neq i$. Uma regra simples é

$$R_i(\underline{\theta}) = (j : |a_{ij}(\underline{\theta})| > 0.001)$$

Aproximando $\pi(x_i|\underline{\theta}, \underline{y})$

- A expressão 3 ainda precisa ser calculada para diferentes valores de x_i .
- Para selecionar estes pontos usamos $\tilde{\pi}_G(x_i|\underline{\theta}, \underline{y})$.

$$x_i^{(s)} = \frac{x_i - \mu_i(\underline{\theta})}{\sigma_i(\underline{\theta})}$$

Para representar a densidade $\tilde{\pi}_{LA}(x_i|\underline{\theta}, \underline{y})$, usa-se

$$\tilde{\pi}_{LA}(x_i|\underline{\theta}, \underline{y}) \propto N(x_i; \mu_i(\underline{\theta}), \sigma_i^2(\underline{\theta})) \times \exp(\text{cubic spline}(x_i))$$

INLA - Estratégia geral

- 1 Selecione um conjunto de $\Theta = (\underline{\theta}_1, \dots, \underline{\theta}_k)$
- 2 Para $k = 1$ até K faça
- 3 Calcule $\tilde{\pi}(\underline{\theta}_k | \underline{y})$
- 4 Calcule $\tilde{\pi}(x_i | \underline{\theta}_k, \underline{y})$ como uma função de x_i
- 5 Fim para
- 6 Calcule $\tilde{\pi}(x_i | \underline{y}) = \sum_k \tilde{\pi}(x_i | \underline{\theta}_k, \underline{y}) \tilde{\pi}(\underline{\theta}_k | \underline{y}) \Delta_k$

Exemplos computacionais com INLA

- Modelo de regressão Poisson

```
> dados.poisson <- read.table("../..//POISSON.txt", header=TRUE)
> head(dados.poisson)
```

```
   y      cov
1  6 0.0000000
2 10 0.05050505
3  7 0.10101010
4 11 0.15151515
5 13 0.20202020
6  4 0.25252525
```

- Ajustando o modelo via INLA

```
> require(INLA)
> mod.poisson <- inla(y ~ cov, family = "poisson", data = dados.poisson)
```

Exemplos computacionais com INLA

● Resumo do ajuste

```
> summary(mod.poisson)
```

Call:

```
"inla(formula = y ~ cov, family = \"poisson\", data = dados.poisson)"
```

Time used:

Pre-processing	Running inla	Post-processing	Total
0.06723642	0.01298118	0.01254129	0.09275889

Fixed effects:

	mean	sd	0.025quant	0.5quant	0.975quant	kld
(Intercept)	1.9737071	0.05108772	1.8727900	1.9739712	2.0731452	7.391718e-07
cov	0.5085499	0.01381904	0.4815489	0.5085135	0.5357629	1.190952e-09

The model has no random effects

The model has no hyperparameters

Expected number of effective parameters(std dev): 2.054(0.00)

Number of equivalent replicates : 48.68

Marginal Likelihood: -297.05

Warning: Interpret the marginal likelihood with care if the prior model is improper.

Exemplos computacionais com INLA

- Modelo Beta Longitudinal

```
> dados.beta.long <- read.table("../..//dadosBeta.txt", header=TRUE)
> i <- 1:150
> j <- 151:300
```

- Ajustando o modelo via INLA

```
> mod.beta.long <- inla(y ~ cov + f(i, model="iid2d", n =300) +
+                       f(j, cov, copy="i"), family = "beta", data = dados.beta.long)
```


Exemplos computacionais com INLA

● Resumo do ajuste

```
> summary(mod.beta.long)
```

Call:

```
c("inla(formula = y ~ cov + f(i, model = \"iid2d\", n = 300) + f(j, \" \" cov, copy = \"i\"), family =
```

Time used:

Pre-processing	Running inla	Post-processing	Total
0.14096737	2.23673844	0.08089542	2.45860124

Fixed effects:

	mean	sd	0.025quant	0.5quant	0.975quant	kld
(Intercept)	0.6760767	0.1169750	0.4472828	0.6757476	0.9067829	0.01866807
cov	0.8821051	0.2144836	0.4616026	0.8819220	1.3037362	0.05348653

Random effects:

Name	Model	Max KLD
i	IID2D model	
j	Copy	

Model hyperparameters:

	mean	sd	0.025quant
precision parameter for the beta observations	10.3400	2.0234	7.0131
Precision for i (component 1)	7.1439	2.9851	2.7291
Precision for i (component 2)	3.8736	2.3724	0.8290
Rho1:2 for i	-0.2753	0.2660	-0.7579
	0.5quant	0.975quant	
precision parameter for the beta observations	10.1147	14.9318	
Precision for i (component 1)	6.6963	14.2107	
Precision for i (component 2)	3.3884	9.7418	
Rho1:2 for i	-0.2789	0.2448	

Expected number of effective parameters(std dev): 52.78(16.02)

Number of equivalent replicates : 2.842

Marginal Likelihood: -2754.65

Warning: Interpret the marginal likelihood with care if the prior model is improper.